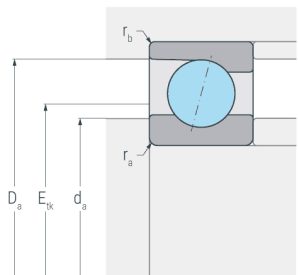
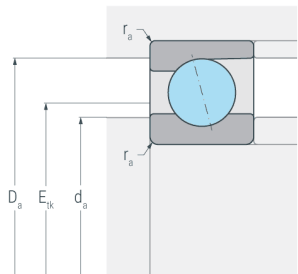
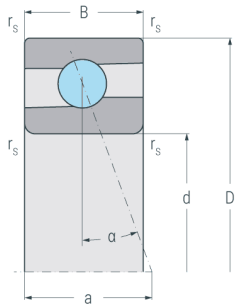


# XC7026E.T.P4S

Hochgeschwindigkeits-Hybridspindellager, angestellt, paar- oder satzweise, Druckwinkel 25°, Hartgewebekäfig, eingengte Toleranzen, Ringe aus Cronidur® 30, Wälzkörper aus Siliziumnitrid



## Abmessungen

|                          |      |     |                         |
|--------------------------|------|-----|-------------------------|
| <b>d</b>                 | (mm) | 130 | Bohrungsdurchmesser     |
| <b>D</b>                 | (mm) | 200 | Außendurchmesser        |
| <b>B</b>                 | (mm) | 33  | Breite                  |
| <b>a</b>                 | (mm) | 55  | Stützweite              |
| <b>r<sub>s min</sub></b> | (mm) | 2   | minimaler Kantenabstand |

## Druckwinkel

|          |     |    |             |
|----------|-----|----|-------------|
| <b>α</b> | (°) | 25 | Druckwinkel |
|----------|-----|----|-------------|

## Anschlussmaße

|                          |      |       |                                 |
|--------------------------|------|-------|---------------------------------|
| <b>d<sub>a h12</sub></b> | (mm) | 142   | Durchmesser der Wellenschulter  |
| <b>D<sub>a H12</sub></b> | (mm) | 189   | Durchmesser der Gehäuseschulter |
| <b>r<sub>a max</sub></b> | (mm) | 2     | maximaler Rundungsradius        |
| <b>E<sub>tk</sub></b>    | (mm) | 159.7 | Einspritzteilkreis              |
| <b>E<sub>tk1</sub></b>   | (mm) | 157.5 | Einspritzteilkreis              |

## Gewicht

|           |  |     |         |
|-----------|--|-----|---------|
| <b>kg</b> |  | 3.5 | Gewicht |
|-----------|--|-----|---------|



# XC7026E.T.P4S

Hochgeschwindigkeits-Hybridspindellager, angestellt, paar- oder satzweise, Druckwinkel 25°, Hartgewebekäfig, eingengte Toleranzen, Ringe aus Cronidur® 30, Wälzkörper aus Siliziumnitrid

## Leistungsdaten

|                             |                      |       |                                 |
|-----------------------------|----------------------|-------|---------------------------------|
| <b>C<sub>r</sub></b>        | (kN)                 | 99    | dynamische Tragzahl, radial     |
| <b>C<sub>Or</sub></b>       | (kN)                 | 46.2  | statische Tragzahl, radial      |
| <b>C<sub>ur</sub></b>       | (kN)                 | 3.38  | Ermüdungsgrenzbelastung, radial |
| <b>n<sub>G Grease</sub></b> | (min <sup>-1</sup> ) | 12000 | Grenzdrehzahl, Fettschmierung   |
| <b>n<sub>G Oil</sub></b>    | (min <sup>-1</sup> ) | 19000 | Grenzdrehzahl, Ölschmierung     |
| <b>F<sub>VL</sub></b>       | (N)                  | 257   | Vorspannkraft, leicht           |
| <b>F<sub>VM</sub></b>       | (N)                  | 771   | Vorspannkraft, mittel           |
| <b>F<sub>VS</sub></b>       | (N)                  | 1542  | Vorspannkraft, schwer           |
| <b>C<sub>aL</sub></b>       | (N/μm)               | 232   | axiale Steifigkeit, leicht      |
| <b>C<sub>aM</sub></b>       | (N/μm)               | 345   | axiale Steifigkeit, mittel      |
| <b>C<sub>aS</sub></b>       | (N/μm)               | 444   | axiale Steifigkeit, schwer      |
| <b>K<sub>aEL</sub></b>      | (N)                  | 741   | Abhebekraft, leicht             |
| <b>K<sub>aEM</sub></b>      | (N)                  | 2254  | Abhebekraft, mittel             |
| <b>K<sub>aES</sub></b>      | (N)                  | 4567  | Abhebekraft, schwer             |